

心肌致密化不全心肌病患者预后影响因素分析

凯丽比努尔·穆合塔尔, 娜几娜·吾格提

新疆医科大学第一附属医院心内科, 新疆 乌鲁木齐

收稿日期: 2025年8月19日; 录用日期: 2025年9月13日; 发布日期: 2025年9月25日

摘要

目的: 探讨心肌致密化不全心肌病(NVM)患者的临床特征及其预后相关因素。方法: 回顾性分析近10年新疆医科大学第一附属医院确诊的120例NVM患者的临床与随访资料, 采用Kaplan-Meier方法分析生存情况, COX回归模型评估影响死亡的独立预测因素。结果: 随访期间总死亡率为26.67%。多因素COX回归分析显示, 左心房容积指数(LAVI)和左室舒张末期内径(LVEDD)为全因死亡的独立预测因子($P < 0.05$)。Kaplan-Meier分析进一步证实, LAVI $> 21.89 \text{ ml/m}^2$ 与LVEDD $> 55 \text{ mm}$ 患者生存率显著下降。结论: LAVI与LVEDD可作为NVM患者预后判断的重要参数, 早期识别并干预有助于改善其预后。

关键词

心肌致密化不全, 左心房容积指数, 左室舒张末期内径, 生存分析, 预后

Analysis of Factors Affecting Prognosis in Patients with Myocardial Densification Insufficiency Cardiomyopathy

Kailibinuer-Muhetaer, Najina-Wugeti

Department of Cardiology, The First Affiliated Hospital of Xinjiang Medical University, Urumqi Xinjiang

Received: Aug. 19th, 2025; accepted: Sep. 13th, 2025; published: Sep. 25th, 2025

Abstract

Objective: To explore the clinical characteristics and prognostic factors in patients with non-compaction cardiomyopathy (NVM). **Methods:** A retrospective analysis was conducted on the clinical and follow-up data of 120 patients diagnosed with NVM at the First Affiliated Hospital of Xinjiang Medical University over the past ten years. Kaplan-Meier survival analysis was used to evaluate overall survival, and Cox regression models were applied to identify independent predictors of mortality. **Results:** The overall mortality rate during follow-up was 26.67%. Multivariate Cox regression

文章引用: 凯丽比努尔·穆合塔尔, 娜几娜·吾格提. 心肌致密化不全心肌病患者预后影响因素分析[J]. 临床医学进展, 2025, 15(9): 1674-1682. DOI: [10.12677/acm.2025.1592669](https://doi.org/10.12677/acm.2025.1592669)

analysis identified left atrial volume index (LAVI) and left ventricular end-diastolic diameter (LVEDD) as independent predictors of all-cause mortality ($P < 0.05$). Kaplan-Meier analysis further confirmed that patients with LAVI $> 21.89 \text{ ml/m}^2$ and LVEDD $> 55 \text{ mm}$ had significantly lower survival rates. Conclusion: LAVI and LVEDD are important prognostic indicators for patients with NVM. Early identification and timely intervention may help improve prognosis.

Keywords

Non-Compaction Cardiomyopathy, Left Atrial Volume Index, Left Ventricular End-Diastolic Diameter, Survival Analysis, Prognosis

Copyright © 2025 by author(s) and Hans Publishers Inc.

This work is licensed under the Creative Commons Attribution International License (CC BY 4.0).

<http://creativecommons.org/licenses/by/4.0/>



Open Access

1. 引言

心肌致密化不全(non-compaction of ventricular myocardium, NVM)是一种罕见的先天性心肌病，其特征为心室壁小梁增粗、小梁间深隐窝及心肌致密化不良[1]。该病多累及左心室心尖部和游离壁，近年来随着心脏超声和心磁共振等成像技术的进步，NVM 的识别率显著提高[2][3]。NVM 临床表现多样，轻者无症状，重者可出现心力衰竭、恶性心律失常、血栓形成及心源性猝死等严重并发症[4][5]。其预后差异较大，明确影响其预后的独立因素，有助于临床分层管理和个体化治疗[6][7]。

2. 资料与方法

2.1. 研究对象

纳入近 10 年于新疆医科大学第一附属医院心内科确诊的 120 例 NVM 患者。纳入标准依据 Jenni 心脏超声诊断标准，排除资料不全、失访及非疾病相关死亡患者。所有患者均接受规律随访，终点事件为因 NVM 相关的全因死亡。

2.2. 资料收集

通过电子病历系统收集患者性别、年龄、身高体重、血压、家族史、心功能分级、既往史及药物治疗情况等基础信息。影像学参数包括左室射血分数(EF)、左室舒张末期内径(LVEDD)、左室缩短分数(FS)、左心房容积指数(LAVI)等超声指标；实验室指标包括肌酐、NT-proBNP 等。所有患者均进行每 6 个月一次随访，记录其生存状态及再次住院情况。

2.3. 统计学方法

采用 SPSS 22.0 软件进行统计学分析。计量资料以均数 \pm 标准差或中位数表示，组间比较采用 t 检验或 Mann-Whitney U 检验；分类变量采用卡方检验。生存分析采用 Kaplan-Meier 法并绘制生存曲线，组间差异用 Log-rank 检验。COX 回归模型用于分析影响预后的独立因素。以 $P < 0.05$ 为差异有统计学意义。

3. 结果

3.1. 一般情况比较

见表 1 和表 2：纳入 120 例 NVM 患者，其中男性 78 例(65.0%)，女性 42 例(35.0%)；平均年龄为

37.36 ± 19.11 岁。随访时间为 23.27 ± 12.65 个月。共发生全因死亡32例(26.67%)。死亡组患者平均年龄略低,且青少年(≤ 18 岁)占比高于生存组($P < 0.05$),提示年轻患者预后较差。高血压病史在死亡组中比例显著较高($P = 0.01$)。

Table 1. Comparison of general information between the two groups of patients**表 1. 两组患者一般资料比较**

项目	全部(120 例)	存活组(88 例)	死亡组(32 例)	$t/Z/\chi^2$ 值	P 值
年龄	37.36 ± 19.11	38.32 ± 17.65	33.94 ± 22.34	4.77	0.03
>18岁	94 (78.33%)	72 (81.82%)	22 (68.75%)		
≤ 18 岁	26 (21.67%)	16 (18.18%)	10 (31.25%)		
性别:				0.270	0.604
男	78 (65.00%)	56 (63.64%)	22 (68.75%)		
女	42 (35.00%)	32 (36.36%)	10 (31.25%)		
随访时间	23.27 ± 12.648	23.84 ± 12.36	21.69 ± 13.482	3.378	0.069
晕厥:				0.425	0.515
否认	116 (96.67%)	84 (95.45%)	32 (100.00%)		
有	4 (3.33%)	4 (4.55%)	0 (0.00%)		
上腹痛:				0.000	0.989
否认	116 (98.31%)	86 (97.73%)	32 (100.00%)		
有	2 (1.69%)	2 (2.27%)	0 (0.00%)		
吸烟:				0.067	0.795
否认	86 (71.67%)	62 (70.45%)	24 (75.00%)		
有	34 (28.33%)	26 (29.55%)	8 (25.00%)		
饮酒:				0.005	0.943
否认	98 (81.67%)	72 (81.82%)	26 (81.25%)		
有	22 (18.33%)	16 (18.18%)	6 (18.75%)		

Table 2. Comparison of clinical characteristics between survival and death groups**表 2. 两组患者疾病特点比较**

项目	全部(120 例)	存活组(88 例)	死亡组(32 例)	$t/Z/\chi^2$ 值	P
心功能分级:				4.365	0.225
I	38 (31.67%)	32 (36.36%)	6 (18.75%)		
II	30 (25.00%)	20 (22.73%)	10 (31.25%)		
III	42 (35.00%)	28 (31.82%)	14 (43.75%)		
IV	10 (8.33%)	8 (9.09%)	2 (6.25%)		
脉搏	84.66 ± 14.98	85.61 ± 15.66	82.19 ± 12.25	1.883	0.173
收缩压	113.95 ± 18.21	114.09 ± 16.74	112.63 ± 21.85	2.274	0.134
舒张压	72.17 ± 12.47	72.77 ± 12.53	69.81 ± 12.15	1.601	0.208
心血管病家族史:				0.682	0.409
否认	96 (80.00%)	72 (81.82%)	24 (75.00%)		
有	24 (20.00%)	16 (18.18%)	8 (25.00%)		

续表

高血压病:				6.682	0.010
否认	100 (83.33%)	78 (88.64%)	22 (68.75%)		
有	20 (16.67%)	10 (11.36%)	10 (31.25%)		

3.2. 心脏结构与功能参数比较

见表3和表4: 心脏彩超结果显示, 死亡组患者的 LAVI、LVEDD 及左室收缩末期内径(LVESD)显著高于生存组, 而 EF 和 FS 显著下降($P < 0.001$) [8] [9]。此外, NT-proBNP 水平在死亡组中明显升高, 提示心衰程度更严重[10]。

Table 3. Comparison of electrocardiogram, cardiac ultrasound and nuclear magnetic data between two groups of patients
表3. 两组患者心电图、心脏超声及核磁资料比较

项目	全部(120 例)	存活组(88 例)	死亡组(32 例)	t/Z/ χ^2 值	P 值
房性心律失常:				0.004	0.953
无	82 (68.33%)	60 (68.18%)	22 (68.75%)		
有	38 (31.67%)	28 (31.82%)	10 (31.25%)		
房室传导阻滞:				0.425	0.515
无	116 (96.67%)	84 (95.45%)	32 (100.00%)		
有	4 (3.33%)	4 (4.55%)	0 (0.00%)		
束支传导阻滞:				0.015	0.901
无	110 (91.67%)	80 (90.91%)	30 (93.75%)		
有	10 (8.33%)	8 (9.09%)	2 (6.25%)		
室性心律失常:				0.239	0.625
无	86 (71.67%)	62 (70.45%)	24 (75.00%)		
有	34 (28.33%)	26 (29.55%)	8 (25.00%)		
窦性心律失常:				2.131	0.144
无	80 (66.67%)	62 (70.45%)	18 (56.25%)		
有	40 (33.33%)	26 (29.55%)	14 (43.75%)		
心脏扩大:				11.795	0.245
右心腔	2 (1.67%)	2 (2.27%)	0 (0.00%)		
左心腔	40 (33.33%)	30 (34.09%)	10 (31.25%)		
全心	24 (20.00%)	12 (13.64%)	12 (37.50%)		
双房腔	2 (1.67%)	2 (2.27%)	0 (0.00%)		
双房右室	2 (1.67%)	2 (2.27%)	0 (0.00%)		
双房左室	2 (1.67%)	2 (2.27%)	0 (0.00%)		
无	48 (40.00%)	38 (43.18%)	10 (31.25%)		
左心房容积指数	23.39 ± 5.75	22.35 ± 6.32	25.52 ± 3.64	4.551	0.035
射血分数值	44.00 [36.00; 61.74]	51.85 [37.75, 62.28]	36.83 [32.56, 43.03]		0.001
肺动脉高压:				3.485	0.323
无	88 (73.33%)	68 (77.27%)	20 (62.50%)		
轻度	18 (15.00%)	10 (11.36%)	8 (25.00%)		

续表

中度	6 (5.00%)	4 (4.55%)	2 (6.25%)		
重度	8 (6.67%)	6 (6.82%)	2 (6.25%)		
左室舒张末期内径	56.00 [48.00; 67.25]	63.00 [59.25, 71.25]	52.00 [47.00, 63.75]	680	<0.0011
左室收缩末期内径	45.50 [32.75; 53.25]	37.50 [32.00, 49.75]	50.00 [47.00, 57.50]	760	<0.001
室间隔厚度	9.00 [8.00; 10.00]	9.00 [7.25, 10.75]	9.00 [8.00, 10.00]	1266	0.384
后壁	9.00 [8.00; 10.00]	9.00 [8.00, 10.00]	9.00 [7.00, 10.25]	1394	0.932
左心室缩短分数	22.00 [17.84; 33.33]	26.90 [18.00, 34.00]	18.50 [15.75, 22.10]	816	<0.0011111

Table 4. Comparison of laboratory and treatment between the two groups**表 4. 两组实验室指标及治疗情况比较**

项目	全部(120 例)	存活组(88 例)	死亡组(32 例)	t/Z ² 值	P 值
总胆固醇	3.69 ± 1.09	3.78 ± 1.10	3.44 ± 1.04	0.001	0.974
甘油三酯	1.31 ± 0.85	1.31 ± 0.89	1.30 ± 0.69	1.198	0.276
低密度脂蛋白	2.39 ± 0.96	2.44 ± 0.98	2.28 ± 0.89	0.002	0.964
高密度脂蛋白	1.06 ± 0.46	1.11 ± 0.49	0.94 ± 0.35	0.505	0.479
肌酐	69.96 ± 24.13	67.79 ± 21.78	75.28 ± 28.83	4.721	0.032
尿素氮	6.09 ± 2.68	5.91 ± 2.62	6.47 ± 2.78	0.014	0.907
NT-proBNP	872.50 [112.75; 2102.50]	471.36 [73.26; 1690.00]	1976.84 [742.00; 2927.50]		0.001
肌酸激酶	70.10 [48.60; 105.34]	70.92 [49.00; 102.09]	62.00 [47.37; 105.34]		0.704
利尿剂:				3.333	0.068
无	52 (44.07%)	42 (48.84%)	10 (31.25%)		
有	66 (55.93%)	44 (51.16%)	22 (68.75%)		
ACEI.ARB:				0.005	0.942
无	40 (33.33%)	30 (34.09%)	10 (31.25%)		
有	80 (66.67%)	58 (65.91%)	22 (68.75%)		
β 受体阻滞剂:				2.630	0.105
无	36 (30.00%)	30 (34.09%)	6 (18.75%)		
有	84 (70.00%)	58 (65.91%)	26 (81.25%)		
醛固酮拮抗剂:				5.399	0.020
无	64 (54.24%)	52 (60.47%)	12 (37.50%)		
有	54 (45.76%)	34 (39.53%)	20 (62.50%)		
地高辛:				13.751	<0.0011
无	106 (88.33%)	84 (95.45%)	22 (68.75%)		
有	14 (11.67%)	4 (4.55%)	10 (31.25%)		
阿司匹林:				0.992	0.319
无	48 (53.33%)	46 (52.27%)	2 (100.00%)		
有	42 (46.67%)	42 (47.73%)	0 (0.00%)		

注: NT-proBNP: 末端 B 型利钠肽前体; ACEI: 血管紧张素转换酶抑制剂; ARB: 血管紧张素 II 受体拮抗剂。

3.3. COX 回归分析

见表 5 和表 6: 单因素 COX 分析显示, EF、FS、LAVI、LVEDD、LVESD 等均与全因死亡相关。进一步多因素回归分析表明, LAVI (HR = 1.079, 95% CI: 1.008~1.156, P = 0.029) 和 LVEDD (HR = 1.292, 95%

CI: 1.019~1.638, P = 0.035)是 NVM 患者死亡的独立预测因素。

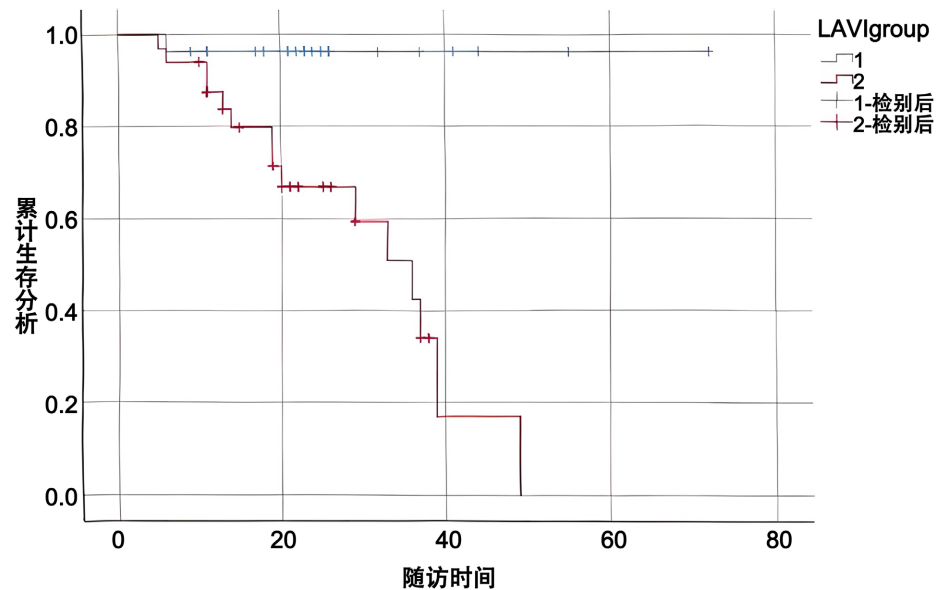
Table 5. Two-group univariate COX regression analysis of all-cause mortality
表5. 两组单因素 COX 回归分析全因死亡的影响因素

变量	β 值	SE	Wald 值	HR	HR95% CI	P
肌酐	0.007	0.007	0.942	1.007	0.993~1.022	0.332
年龄	-0.018	0.010	3.569	0.982	0.964~1.001	0.059
射血分数值	-0.049	0.015	10.376	0.952	0.924~0.981	0.001
左心室缩短分数	-0.084	0.026	10.667	0.92	0.874~0.967	0.001
左心房容积指数	0.058	0.024	6.058	1.06	1.012~1.110	0.014
左室舒张末期内径	0.078	0.017	20.524	1.082	1.045~1.119	<0.001
左室收缩末期内径	0.068	0.016	18.229	1.07	1.037~1.104	<0.001
NT-proBNP	0.000	0.000	2.007	1	0.999~1.000	0.157

注: NT-proBNP: 末端 B 型利钠肽前体。

Table 6. Multifactorial COX regression analysis of all-cause mortality
表6. 多因素 COX 回归分析全因死亡的影响因素

变量	β 值	SE	Wald 值	HR	HR95% CI	P
射血分数值	0.138	0.146	0.885	1.147	0.862~1.528	0.347
左心室缩短分数	-0.312	0.227	1.884	0.732	0.469~1.143	0.17
左心房容积指数	0.076	0.035	4.752	1.079	1.008~1.156	0.029
左室舒张末期内径	0.256	0.121	4.464	1.292	1.019~1.638	0.035
左室收缩末期内径	-0.208	0.143	2.124	0.812	0.614~1.074	0.145



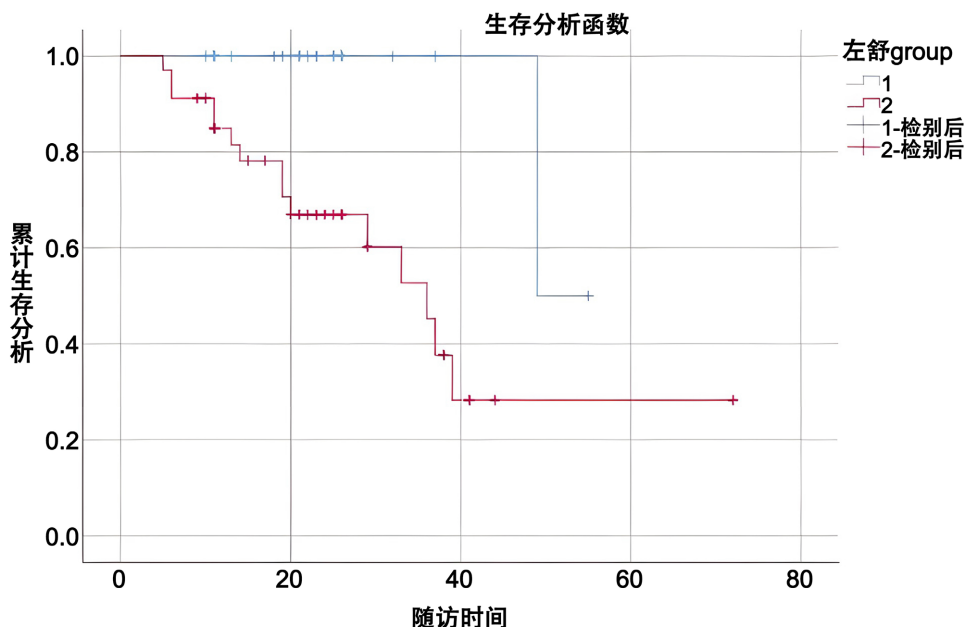
Logrank: $\chi^2: 26.152$; P 值: <0.001

注: LAVI: 左心房容积指数。

Figure 1. Kaplan-Meier survival curve analysis according to LAVI values
图1. 基于 LAVI 值的 Kaplan-Meier 生存曲线分析

3.4. Kaplan-Meier 生存分析

见图 1 和图 2: ROC 曲线分析显示 LAVI > 21.89 ml/m² 和 LVEDD > 55 mm 为预后不良的分界值。Kaplan-Meier 生存曲线结果显示, LAVI 和 LVEDD 高于上述界值的患者, 其累计生存率显著下降(P 均 < 0.001) [11] [12]。



注: LVIDd: 左室舒张末期内径。

Figure 2. Kaplan-Meier survival curve analysis according to LVIDd values
图 2. 基于 LVIDd 值的 Kaplan-Meier 生存曲线分析

4. 讨论

NVM 是一种可累及各年龄段的罕见心肌病, 临床表现变异大、诊断率低。其发病机制与胚胎期心肌致密化障碍密切相关, 具有较强的遗传背景。多数患者在确诊时已出现心力衰竭或心律失常等严重并发症, 导致整体预后不佳。

通过多因素 COX 分析, 证实 LAVI 和 LVEDD 是 NVM 患者全因死亡的独立预测因素, 提示心脏结构重构程度在疾病进展中起关键作用。LAVI 作为左房容量负荷与舒张压反应指标, 其升高反映左室舒张功能障碍的持续存在。LVEDD 则代表左心室扩张程度, 若持续增大, 提示心室重构及泵功能受损, 预示心力衰竭加重, 死亡风险升高。

本研究发现死亡组患者的平均年龄低于存活组, 提示年轻患者预后反而较差, 这一结果与多数心血管疾病中“年龄增加是主要危险因素”的传统认识相悖。类似现象在部分罕见心肌病的研究中亦有报道。可能原因包括: 年轻患者更可能携带高致病性遗传变异(如心肌结构蛋白基因突变), 导致疾病以早发、侵袭性表型为主, 心室重构和心律失常发生更早, 病程进展迅速; 该人群合并先天性心脏畸形(如室间隔缺损、动脉导管未闭)的比例可能更高, 增加了血流动力学负担; 临幊上, 年轻患者的症状在初期易被忽视, 导致延迟诊断和干预, 使疾病在确诊时已进入进展期; 样本量较小可能引起统计学波动, 少数重症病例即可显著影响均值; 年轻患者虽具备较强的心肌代偿能力, 但在高风险基因型 NVM 中, 代偿机制会在

短时间内迅速失效, 从而引发急速失代偿和不良事件。Brescia [13]等对儿童 NVM 患者的长期随访研究也发现, 部分年轻患者因遗传背景和疾病表型差异, 呈现更高的死亡率和移植率。这提示, 在 NVM 患者的预后评估中, 不能简单将年龄视为保护因素, 而应结合遗传学检测、结构与功能评估综合判断, 并针对年轻高危亚型患者实施更积极的随访与干预策略。

虽然 EF 和 NT-proBNP 等指标在单因素分析中具有显著性, 但在多因素分析中未能独立预测预后, 这一结果与 Brescia 等关于儿科患者研究中的观点相似, 即功能参数的波动性较大, 结构性改变可能具有更高稳定性[13], 提示结构性重构指标较功能参数更具稳定性与代表性。这可能与 EF 和 NT-proBNP 的时间波动性及与结构参数的共线性密切相关。EF 作为瞬时功能指标, 易受负荷状态、心律及测量时机等多种因素影响, 预测稳定性可能不如解剖结构指标; NT-proBNP 水平则受肾功能、容量状态及急性应激反应等干扰, 导致在多变量模型中效应减弱。相比之下, LVEDD、LAVI 等结构性指标更能反映长期的心室重构和慢性病程进展, 因此在多因素分析中保留了较强的预测力。此外, 成人与儿童 NVM 在心肌代偿能力和疾病演变模式上存在差异, 这也可能影响不同指标的预测表现。本研究提示, NVM 预后评估应重视结构性参数的长期监测, 并结合功能及生化指标进行综合判断, 而非单一依赖 EF 或 NT-proBNP。此外, 心功能分级、性别、心律失常等因素未显示显著差异, 可能与样本量有限有关。

5. 结论

LAVI 和 LVEDD 是预测心肌致密化不全心肌病患者全因死亡的重要独立因素, 常规心脏超声评估这两项参数可为临床制定干预策略提供依据。建议对 $\text{LAVI} > 21.89 \text{ ml/m}^2$ 或 $\text{LVEDD} > 55 \text{ mm}$ 的高危患者加强监测与治疗, 以提高其生存率与生活质量。

伦理声明

该病例报道已获得病人的知情同意。本研究已获得新疆医科大学第一附属医院伦理委员会批准(批准号: 2021D01D17)。

参考文献

- [1] Jenni, R., Oechslin, E.N. and van der Loo, B. (2017) Isolated Ventricular Non-Compaction of the Myocardium in Adults. *Heart*, **93**, 11-15.
- [2] 林海红. 超声心动图及二维斑点追踪显像技术对心肌致密化不全的诊断意义[D]: [硕士学位论文]. 南宁: 广西医科大学, 2015.
- [3] Stöllberger, C. and Finsterer, J. (2004) Left Ventricular Hypertrabeculation/Noncompaction. *Journal of the American Society of Echocardiography*, **17**, 91-100.
- [4] Towbin, J.A., Lorts, A. and Jefferies, J.L. (2015) Left Ventricular Non-Compaction Cardiomyopathy. *The Lancet*, **386**, 813-825. [https://doi.org/10.1016/s0140-6736\(14\)61282-4](https://doi.org/10.1016/s0140-6736(14)61282-4)
- [5] Aras, D., Tufekcioglu, O., Ergun, K., Ozeke, O., Yildiz, A., Topaloglu, S., et al. (2006) Clinical Features of Isolated Ventricular Noncompaction in Adults Long-Term Clinical Course, Echocardiographic Properties, and Predictors of Left Ventricular Failure. *Journal of Cardiac Failure*, **12**, 726-733. <https://doi.org/10.1016/j.cardfail.2006.08.002>
- [6] 熊国均, 欧荣华, 周芳明. 18 例心肌致密化不全患者的临床特征分析[J]. 中国心血管杂志, 2020, 25(4): 328-332.
- [7] Dawson, D.K., McLernon, D.J., Raj, V.J., Maceira, A.M., Prasad, S., Frenneaux, M.P., et al. (2014) Cardiovascular Magnetic Resonance Determinants of Left Ventricular Noncompaction. *The American Journal of Cardiology*, **114**, 456-462. <https://doi.org/10.1016/j.amjcard.2014.05.017>
- [8] Miyake, C.Y. and Kim, J.J. (2015) Arrhythmias in Left Ventricular Noncompaction. *Cardiac Electrophysiology Clinics*, **7**, 319-330. <https://doi.org/10.1016/j.ccep.2015.03.007>
- [9] Ichida, F. (2020) Left Ventricular Noncompaction—Risk Stratification and Genetic Consideration. *Journal of Cardiology*, **75**, 123-130. <https://doi.org/10.1016/j.jcc.2019.09.011>
- [10] Saleeb, S.F., Margossian, R., Spencer, C.T., et al. (2019) Evaluation of Left Ventricular Noncompaction Cardiomyopathy in

- Children: Past, Present, and Future. *World Journal for Pediatric and Congenital Heart Surgery*, **10**, 711-720.
- [11] 王欣, 杨喜惠, 刘晓伟, 等. 成人孤立性心肌致密化不全的临床特征及预后分析[J]. 中国医药, 2019, 14(4): 501-504.
- [12] Brescia, S.T., Rossano, J.W., Pignatelli, R., Jefferies, J.L., Price, J.F., Decker, J.A., et al. (2013) Mortality and Sudden Death in Pediatric Left Ventricular Noncompaction in a Tertiary Referral Center. *Circulation*, **127**, 2202-2208. <https://doi.org/10.1161/circulationaha.113.002511>
- [13] Jacquier, A., Thuny, F., Jop, B., Giorgi, R., Cohen, F., Gaubert, J.Y., et al. (2010) Measurement of Trabeculated Left Ventricular Mass Using Cardiac Magnetic Resonance Imaging in the Diagnosis of Left Ventricular Non-Compaction. *European Heart Journal*, **31**, 1098-1104. <https://doi.org/10.1093/eurheartj/ehp595>